

Modélisation 3 : Modéliser des évolutions biologiques / statistiques

Proposition de correction

Contents

1 Le modèle de Lotka-Voltera	1
1.1 Résolution des équations différentielles et oscillations	2
1.2 Pour aller plus loin : portrait de phase et oscillations autour de l'équilibre	4
2 Un modèle d'épidémiologie	7
2.1 Modèle "simplifié"	7
2.2 Modèle SIR	10
2.3 Bonus : Modélisation de l'épidémie du COVID	12

1 Le modèle de Lotka-Voltera

Le modèle de Lotka-Voltera, aussi nommé "modèle proies-prédateurs", est un modèle d'écologie mathématiques, permettant de décrire l'évolution simultanée de deux populations : la population des proies, et celle des prédateurs. Il a été proposé dans les années 1920 indépendamment par Alfred James Lotka et Vito Volterra. Historiquement, le premier l'a proposé pour modéliser les fluctuations périodiques de concentrations d'espèces chimiques observées dans certaines réactions. Le deuxième pour expliquer les proportions fluctuantes de poissons pêchés dans l'Adriatique.

Expliquons ce modèle : lorsque les prédateurs sont peu nombreux, la population des proies s'accroît rapidement. Les prédateurs se développent à leur tour car leur subsistance est largement assurée, mais ils finissent par être si nombreux que la population des proies décline, décimées. Manquant de nourriture, les prédateurs se mettent à diminuer à leur tour jusqu'à ce que leur faible nombre permette le redémarrage de la population des proies et de l'ensemble du cycle. La population des proies passe donc par un maximum avant celle des prédateurs.

Ce modèle, premier d'une longue série de modèles mathématiques/physique appliqués à la biologie, connu une confirmation remarquable avec les statistiques de la Compagnie de la baie d'Hudson, livrées en 1942, sur le nombre de peaux de lièvres des neiges et de lynx livrées chaque année par les trappeurs entre 1845 et 1935. On constate effectivement une fluctuation presque régulière de la population des lièvres et de celle des lynx qui en vivent.

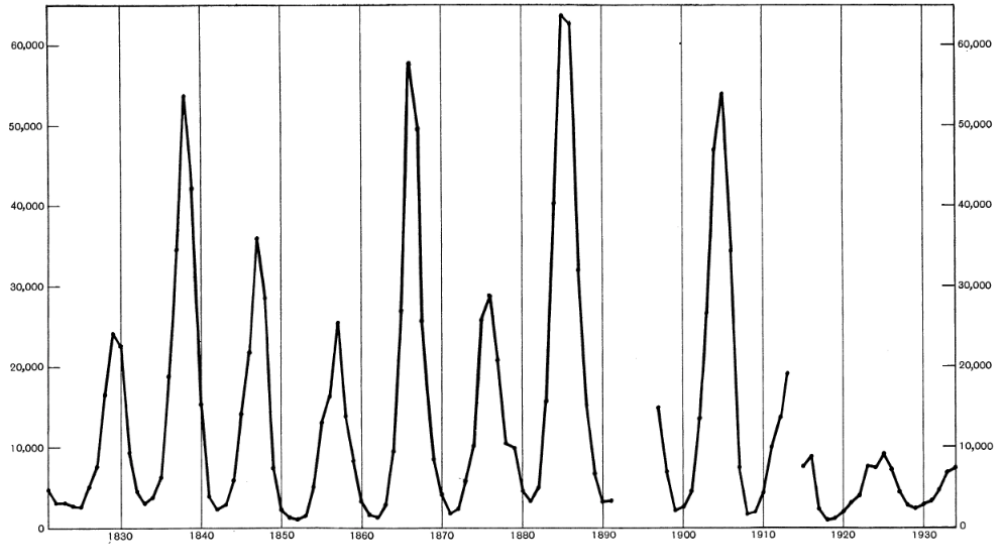


Fig. 7. Lynx fur returns of the Northern Department, Hudson's Bay Company, 1821-1913, and of equivalent area 1915-34.

En réalité, il a été montré plus tard que l'influence de l'homme (en particulier des trappeurs) est prépondérante pour expliquer ces données...

1.1 Résolution des équations différentielles et oscillations

Pour fixer les choses, nous considérerons l'exemple des interactions Lapins / Renards : on note alors $R(t)$ le nombre de renards et $L(t)$ le nombre de lapins à l'instant t . D'après le modèle de Lotka-Volterra, l'évolution de ces deux fonctions obéissent aux équations différentielle couplées suivantes :

$$\begin{cases} \dot{L}(t) = a.L(t) - c.L(t).R(t) = f(L(t), R(t), t) \\ \dot{R}(t) = -b.R(t) + d.L(t).R(t) = g(L(t), R(t), t) \end{cases}$$

avec a , b , c et d des coefficients positifs.

Question 1 : Expliquer chacun des termes de ces équations.

Aide : pour comprendre le coefficient a , on peut considérer que $R(t) = 0$, et pour comprendre le coefficient b , on peut considérer que $L(t) = 0$.

Correction :

- en l'absence de prédateurs, le nombre de proies croît indéfiniment, en suivant le modèle exponentiel
- en l'absence de proies, le nombre de prédateurs décroît indéfiniment, en suivant le modèle exponentiel;
- le taux d'accroissement des proies diminue en proportion du nombre de prédateurs, l'interaction entre les proies et les prédateurs conduit à une diminution du nombre de proies. Cette diminution est proportionnelle au nombre de rencontres entre les proies et les prédateurs, donc proportionnelle au produit du nombre de prédateurs par le nombre de proies
- la même interaction conduit à une augmentation du nombre de prédateurs. Cette augmentation est proportionnelle au nombre de rencontres entre les proies et les prédateurs, donc

proportionnelle au produit du nombre de prédateurs par le nombre de proies.

Question 2 : Ecrire la fonction `Euler_LV(a,b,c,d,Li,Ri,tf,n)` retournant les listes `T`, `L` et `R`, grâce à la méthode d'Euler, appliquée entre $t_i = 0$ et t_f , pour n points, avec pour conditions initiales $L_i = L(0)$ et $R_i = R(0)$.

```
[5]: def Euler_LV(a,b,c,d,Li,Ri,tf,n):
    T, L, R = np.zeros(n), np.zeros(n), np.zeros(n)
    L[0] = Li
    R[0] = Ri
    h = tf / (n-1)
    for j in range(n-1):
        T[j+1] = T[j] + h
        L[j+1] = L[j] + h*(a*L[j]-c*L[j]*R[j])
        R[j+1] = R[j] + h*(-b*R[j]+d*L[j]*R[j])
    return T,L,R

# Autre version :
def Euler_LV_bis(a,b,c,d,Li,Ri,tf,n):
    T=[0]
    L=[Li]
    R=[Ri]
    h = tf / (n-1)
    for i in range(n-1):
        T.append(T[-1]+h)
        L.append((a*h+1)*L[-1]-c*h*L[-1]*R[-1])
        R.append((1-h*b)*R[-1]+d*h*L[-2]*R[-1])
    return T,L,R
```

Question 3 : Tracer les graphes des solutions pour $a = 0,2$, $b = 0,3$, $c = 0,1$, $d = 0,15$ et $t_f = 200$. On fera en sorte de prendre $\frac{n}{t_f} > 50$. On produira deux figures : - une pour $L(0) = 2$ et $R(0) = 1$, - l'autre pour $L(0) = 2$ et $R(0) = 20$

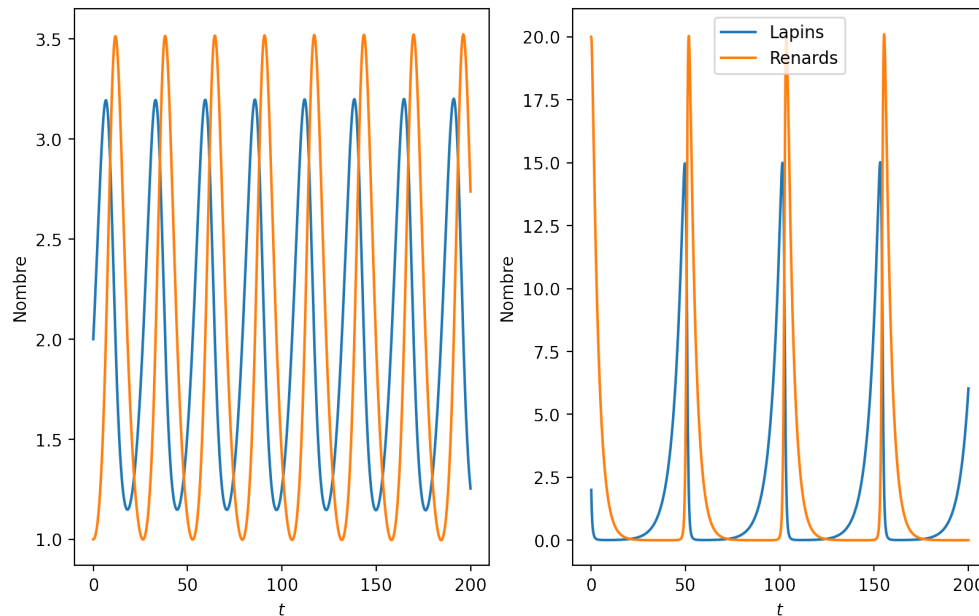
```
[6]: a, b, c, d, tf = 0.2, 0.3, 0.1, 0.15, 200
n = 200000
Li, Ri = 2, 1
T, L, R = Euler_LV(a,b,c,d,Li,Ri,tf,n)

ratio = 1.2 # ratio de taille entre fig et texte (légende et axes), par défaut 1
plt.figure(figsize=(8*ratio,5*ratio),dpi = 200)
plt.subplot(121)
plt.plot(T,L,label='Lapins')
plt.plot(T,R,label='Renards')
plt.xlabel(r'$t$')
plt.ylabel('Nombre')

plt.subplot(122)
Li, Ri = 2, 20
```

```
T, L, R = Euler_LV(a,b,c,d,Li,Ri,tf,n)
plt.plot(T,L,label='Lapins')
plt.plot(T,R,label='Renards')
plt.xlabel(r'$t$')
plt.ylabel('Nombre')

plt.legend()
plt.show()
```



On retrouve donc des fluctuations périodiques, légèrement déphasées, comme espérées... On peut aussi critiquer un peu ce modèle, dans lequel un nombre non entier d'animaux peut exister ! Plus grave, et lié au même problème : une population de lapins inférieure à 1 est possible (par exemple de 0,1), et peut ensuite donner naissance à de nombreuses naissances... Dans la réalité, si jamais $L < 2$, alors la population ne devrait jamais pouvoir repartir !

1.2 Pour aller plus loin : portrait de phase et oscillations autour de l'équilibre

Question 4 (facultative) : Pour les deux cas précédents, réaliser un portrait de phase du système, c'est-à-dire tracer $R(t)$ en fonction de $L(t)$.

```
[9]: a, b, c, d, tf = 0.2, 0.3, 0.1, 0.15, 200
n = 200000
Li, Ri = 2, 1
T, L, R = Euler_LV(a,b,c,d,Li,Ri,tf,n)

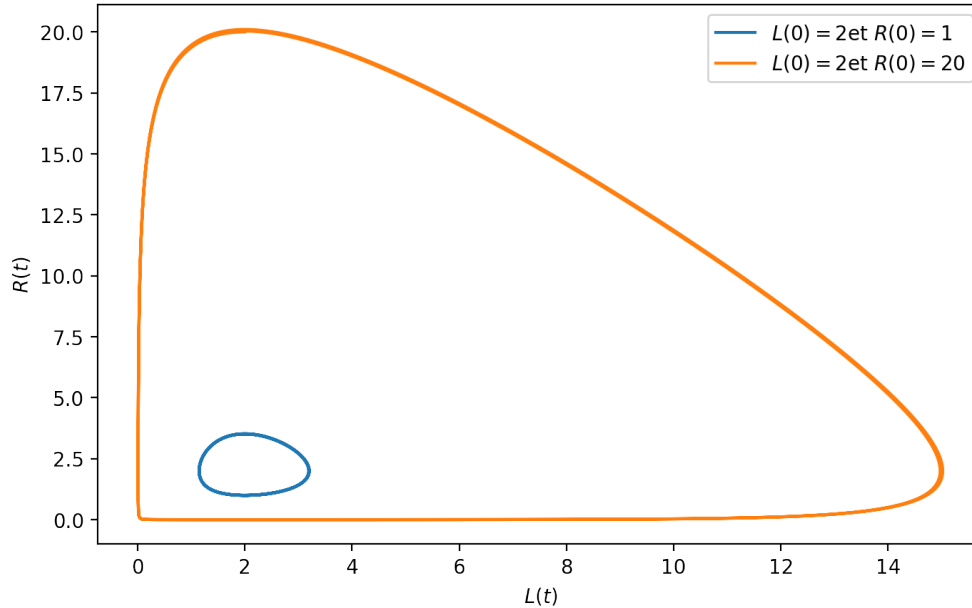
ratio = 1 # ratio de taille entre fig et texte (légende et axes), par défaut 1
plt.figure(figsize=(8*ratio,5*ratio),dpi = 200)
plt.plot(L,R,label=r'$L(0) = 2$' + 'et ' + '$R(0) = 1$')
```

```

Li, Ri = 2, 20
T, L, R = Euler_LV(a,b,c,d,Li,Ri,tf,n)
plt.plot(L,R,label=r'$L(0) = 2$' + ' et ' + '$R(0) = 20$')

plt.xlabel(r'$L(t)$')
plt.ylabel(r'$R(t)$')
plt.legend()
plt.show()

```



Question 5 (facultative) : Donner les positions d'équilibre du système.

Correction : Deux positions d'équilibre possible : - $R = 0$ et $L = 0$: plus de prédateurs ni de proies...pas très intéressant ! - $R_{eq} = \frac{a}{c}$ et $L_{eq} = \frac{b}{d}$: position intéressante !

Question 6 (facultative) : On pose $L = L_{eq}(1 + \epsilon_L(t))$ et $R = R_{eq}(1 + \epsilon_R(t))$: ainsi on va étudier un système proies-prédateurs proche de son point d'équilibre. Ré-écrire les équations différentielles au premier ordre en ϵ , et en déduire la forme des oscillations autour des positions d'équilibre.

Correction : A l'ordre 1 en ϵ , on trouve le système suivant :

$$\begin{cases} \dot{\epsilon}_L(t) = a\epsilon_L - c.R_{eq}(\epsilon_L + \epsilon_R) \\ \dot{\epsilon}_R(t) = -b\epsilon_R + d.L_{eq}(\epsilon_L + \epsilon_R) \end{cases}$$

Soit, en simplifiant :

$$\begin{cases} \dot{\epsilon}_L(t) = -a\epsilon_R \\ \dot{\epsilon}_R(t) = b\epsilon_L \end{cases}$$

On peut alors ré-écrire sous forme d'une seule équation du 2nd ordre :

$$\ddot{\epsilon}_L(t) + ab\epsilon_L = 0$$

Ou :

$$\ddot{\epsilon}_R(t) + ab\epsilon_R = 0$$

On trouve donc des équations différentielles d'oscillateurs harmoniques, de pulsation propre $\omega_0 = \sqrt{ab}$ (à la fois pour les proies et pour les prédateurs). On devrait donc obtenir des variations sinusoïdales en fonction du temps pour le nombre de proies et de prédateurs, avec la même période. Les valeurs moyennes seront celle à l'équilibre, et l'amplitude dépendra des C.I. . Ainsi on devrait observer des ellipses en portrait de phase. Vérifions tout cela :

```
[10]: a, b, c, d, tf = 0.2, 0.3, 0.1, 0.15, 60
n = 200000
Leq, Req = b/d, a/c

eR, eL = 0.1, 0.1
Li, Ri = Leq*(1+eL), Req*(1+eR)
T, L, R = Euler_LV(a,b,c,d,Li,Ri,tf,n)

ratio = 1.5 # ratio de taille entre fig et texte (légende et axes), par défaut 1
plt.figure(figsize=(8*ratio,5*ratio),dpi = 200)
plt.subplot(121)
plt.plot(T,L,label=r'Lapins pour '+''\epsilon_L(t_i)=0,1$')
plt.plot(T,R,label=r'Renards pour '+''\epsilon_R(t_i)=0,1$')
plt.legend()

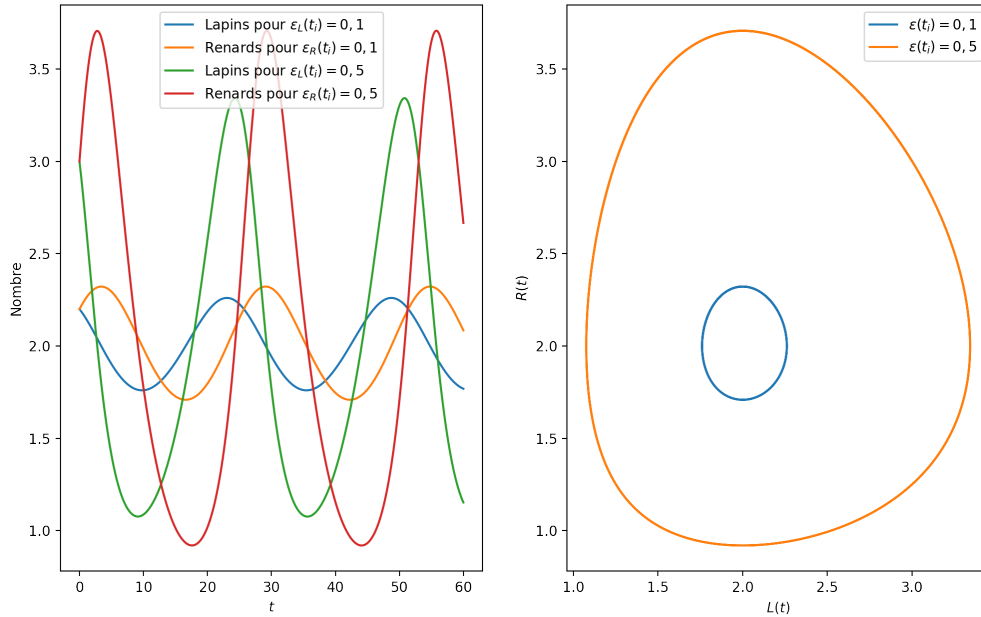
eR, eL = 0.5, 0.5
Li, Ri = Leq*(1+eL), Req*(1+eR)
T, L, R = Euler_LV(a,b,c,d,Li,Ri,tf,n)
plt.plot(T,L,label=r'Lapins pour '+''\epsilon_L(t_i)=0,5$')
plt.plot(T,R,label=r'Renards pour '+''\epsilon_R(t_i)=0,5$')
plt.xlabel(r'$t$')
plt.ylabel('Nombre')
plt.legend()

plt.subplot(122)
eR, eL = 0.1, 0.1
Li, Ri = Leq*(1+eL), Req*(1+eR)
T, L, R = Euler_LV(a,b,c,d,Li,Ri,tf,n)
plt.plot(L,R,label=r'\epsilon(t_i)=0,1$')

eR, eL = 0.5, 0.5
Li, Ri = Leq*(1+eL), Req*(1+eR)
T, L, R = Euler_LV(a,b,c,d,Li,Ri,tf,n)
plt.plot(L,R,label=r'\epsilon(t_i)=0,5$')

plt.xlabel(r'$L(t)$')
plt.ylabel(r'$R(t)$')

plt.legend()
plt.show()
```



2 Un modèle d'épidémiologie

Les modélisations épidémiologiques sont des modèles mathématiques de la propagation de maladies infectieuses. Outre l'étude de l'évolution de maladies, ils permettent de prévoir les conséquences pour la population d'actions publiques telles que la vaccination, la mise en quarantaine, l'instauration de gestes barrières, des mesures de dépistages ou de confinement.

Dans ces modèles, on divise la population en plusieurs "compartiments" : - le compartiment S, pour "Susceptible" -> individus sains susceptibles d'être infectés; - le compartiment I, pour "Infectious" -> individus infectés et contagieux; - le compartiment R, pour "Recovered" -> individus guéris et immunisés.

2.1 Modèle "simplifié"

Dans un premier temps, on ne considère que les compartiments S et I (ce qui est valable pour certaines infections comme le rhume contre lequel on ne développe pas d'immunité) : il s'agit d'un modèle SIS. On considère une population constante (pas de naissances et maladie "gentille" qui ne tue pas !) normalisée à 1. On a donc $S(t) + I(t) = 1 \forall t$.

Voici le système d'équations différentielles :

$$\begin{cases} \dot{S}(t) = -\alpha.S(t).I(t) + \delta.I(t) \\ \dot{I}(t) = \beta.S(t).I(t) - \gamma.I(t) \end{cases}$$

Question 1 : Montrer que $\gamma = \delta$ et $\beta = \alpha$. Simplifier alors le système d'équations, et donner la signification de β et γ (on pourra s'intéresser aux différences avec le modèle de proies-prédateurs).

Correction : On a $S(t) + I(t) = 1 \forall t$, donc $\dot{S}(t) + \dot{I}(t) = 0 \forall t$. En sommant les équations différentielles, on trouve donc les relations demandées.

Le système s'écrit alors :

$$\begin{cases} \dot{S}(t) = -\beta.S(t).I(t) + \gamma.I(t) \\ \dot{I}(t) = \beta.S(t).I(t) - \gamma.I(t) \end{cases}$$

En prenant $S(t) = 0$, on trouve $\dot{I}(t) = -\gamma.I(t)$: naturellement, les personnes infectées guérissent, avec un taux γ . Ce terme se retrouve dans l'autre équation, mais positif, car ce phénomène augmente la part de la population saine.

En prenant $I(t) = 0$, on trouve $\dot{S}(t) = 0$: sans malades, des personnes saines de ne peuvent être infectées.

Dans l'équation $\dot{S}(t) = -\beta.S(t).I(t) + \gamma.I(t)$, le terme $-\beta.S(t).I(t)$ représente les personnes qui tombent malades (deviennent infectées) suite au contact de personnes déjà infectées. C'est pourquoi il s'agit d'un terme proportionnel à $I(t)$, nombre de personnes infectées. Ce terme se retrouve dans l'autre équation, mais positif, car les personnes saines qui deviennent malades font diminuer la part de la population saine, mais font augmenter (dans les mêmes proportions) la part de celle infectée.

Question 2 : On considère un premier modèle de maladie fictive, la maladie X. Ecrire la fonction Euler_SIS(beta,gamma,Ii,Si,tf,n) qui retourne la liste des temps T et les listes I et S de l'évolution des compartiments au cours du temps.

```
[7]: def Euler_SIS(beta,gamma,Ii,Si,tf,n):
    h = tf / (n-1) # pour n points
    T, I, S = np.zeros(n), np.zeros(n), np.zeros(n)
    I[0] = Ii
    S[0] = Si
    for j in range(n-1):
        T[j+1] = T[j] + h
        S[j+1] = S[j] + h * (-beta * I[j] * S[j] + gamma * I[j])
        I[j+1] = 1 - S[j+1]
    return T,S,I

# Autre version
def Euler_SIS_bis(beta,gamma,Ii,Si,tf,n):
    T=[0]
    I=[Ii]
    S=[Si]
    h = tf / (n-1)
    for i in range(n-1):
        T.append(T[-1]+h)
        S.append(S[-1]-beta*h*S[-1]*I[-1]+gamma*h*I[-1])
        I.append((1-h*gamma)*I[-1]+beta*h*S[-2]*I[-1])
    return T,S,I
```

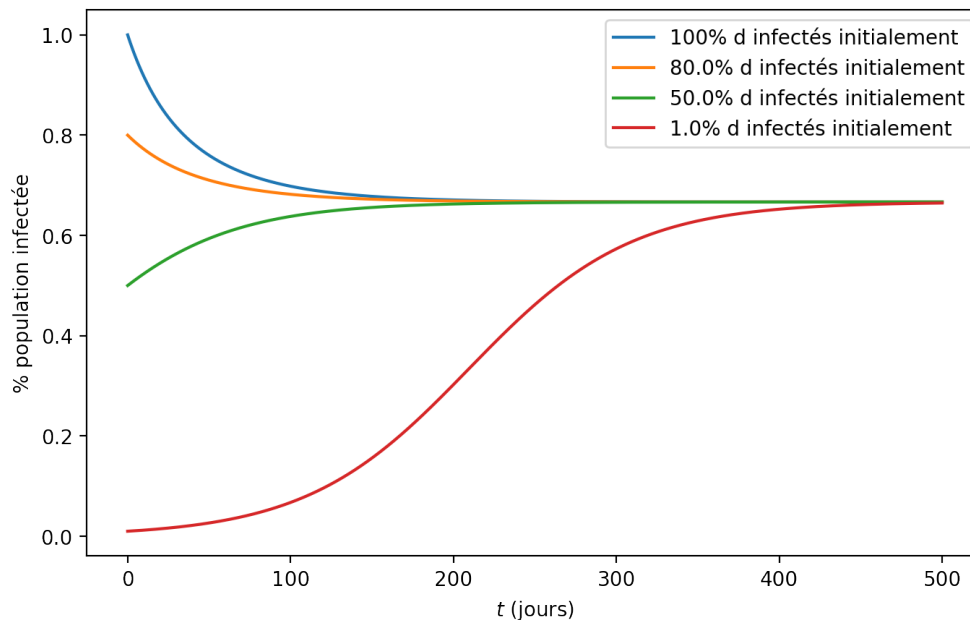
Question 3 : On prendra comme valeurs numériques $\gamma = 0.01 \text{ jour}^{-1}$ et $\beta = 0.03 \text{ jour}^{-1}$, et une durée $t_f = 500 \text{ jours}$. Tracer l'évolution de la population des infectés pour les conditions initiales suivantes : - 100% de malades initialement, - 80% de malades initialement, - 50% de malades initialement, - et enfin 1% de malades initialement.


```
[8]: beta, gamma = 0.03, 0.01
      tf = 500
      n = 10000

      ratio = 1 # ratio de taille entre fig et texte (légende et axes), par défaut 1
      plt.figure(figsize=(8*ratio,5*ratio),dpi = 200)

      for Ii in [1,0.8,0.5,0.01]:
          Si=1-Ii
          T, S, I = Euler_SIS(beta,gamma,Ii,Si,tf,n)
          plt.plot(T,I,label=str(Ii*100)+'% d infectés initialement')

      plt.xlabel(r'$t$ (jours)')
      plt.ylabel('% population infectée')
      plt.legend()
      plt.show()
```



Question 4 : Que peut-on en déduire ? Montrer alors cette propriété.

Correction : Indépendamment des C.I., le système semble toujours converger vers le même état final, déterminé par les valeurs de β et γ . En effet, on peut trouver cet état d'équilibre du système avec $\dot{S}(t) = \dot{I}(t) = 0$: on a alors que si $I \neq 0$, $S_f = S(t \rightarrow \infty) = \frac{\gamma}{\beta}$ et $I_f = I(t \rightarrow \infty) = 1 - \frac{\gamma}{\beta}$. On remarque donc que si $\gamma > \beta$, la maladie disparaît définitivement.

```
[13]: beta, gamma = 0.03, 0.05
       tf = 500
       n = 10000

       ratio = 1 # ratio de taille entre fig et texte (légende et axes), par défaut 1
```

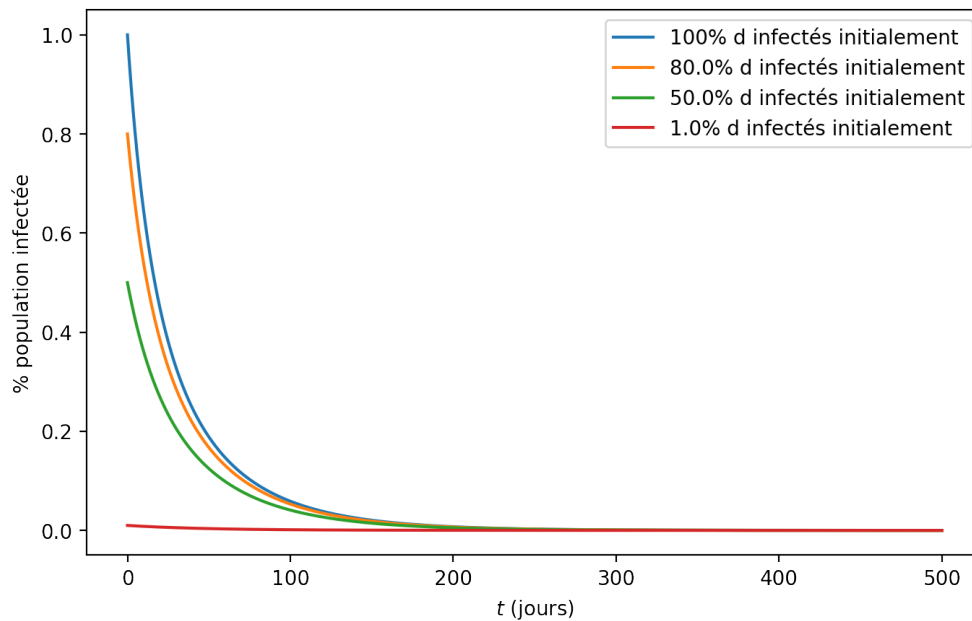
```

plt.figure(figsize=(8*ratio,5*ratio),dpi = 200)

for Ii in [1,0.8,0.5,0.01]:
    Si=1-Ii
    T, S, I = Euler_SIS(beta,gamma,Ii,Si,tf,n)
    plt.plot(T,I,label=str(Ii*100)+'% d infectés initialement')

plt.xlabel(r'$t$ (jours)')
plt.ylabel('% population infectée')
plt.legend()
plt.show()

```



2.2 Modèle SIR

Revenons au modèle complet, dans lequel on peut guérir ! On introduit donc le compartiment R, qui va contenir les personnes soit guéries et donc immunisées, soit mortes (pour *Recovered* ou *Removed*). Voici les équations différentielles modélisant l'évolution de la maladie :

$$\begin{cases} \dot{S}(t) = -\beta.S(t).I(t) \\ \dot{I}(t) = \beta.S(t).I(t) - \gamma.I(t) \\ \dot{R}(t) = +\gamma.I(t) \end{cases}$$

Question 5 : Ecrire la fonction `Euler_SIR(beta,gamma,Ii,Si,tf,n)` qui retourne la liste des temps T et les listes I, S et R de l'évolution des compartiments au cours du temps. Comparer ensuite les deux dernière épidémies.

```
[10]: def Euler_SIR(beta,gamma,Ii,Si,tf,n):
    h = tf / (n-1) # pour n points
    T, I, S, R = np.zeros(n), np.zeros(n), np.zeros(n), np.zeros(n)
    I[0] = Ii
    S[0] = Si
    R[0] = 1 - Si - Ii
    for j in range(n-1):
        T[j+1] = T[j] + h
        S[j+1] = S[j] - h * beta * I[j] * S[j]
        I[j+1] = I[j] + h * (beta * S[j] * I[j] - gamma * I[j])
        R[j+1] = 1 - I[j] - S[j]
    return T,S,I, R

# Autre version :
def Euler_SIR(beta,gamma,Ii,Si,tf,n):
    T=[0]
    I=[Ii]
    S=[Si]
    R=[0]
    h = tf / (n-1)
    for i in range(n-1):
        T.append(T[-1]+h)
        S.append(S[-1]-beta*h*S[-1]*I[-1])
        I.append((1-h*gamma)*I[-1]+beta*h*S[-2]*I[-1])
        R.append(R[-1]+gamma*h*I[-1])
    return T,S,I,R
```

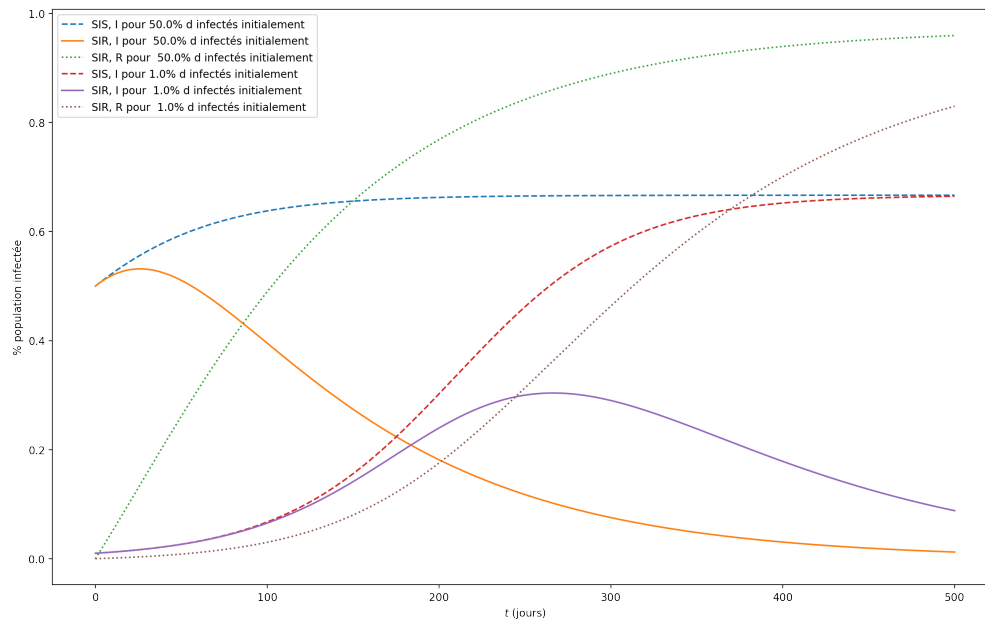
```
[11]: beta, gamma = 0.03, 0.01
tf = 500
n = 10000

ratio = 2 # ratio de taille entre fig et texte (légende et axes), par défaut 1
plt.figure(figsize=(8*ratio,5*ratio),dpi = 200)

for Ii in [0.5,0.01]:
    Si=1-Ii
    T, S1, I1 = Euler_SIS(beta,gamma,Ii,Si,tf,n)
    T, S2, I2, R2 = Euler_SIR(beta,gamma,Ii,Si,tf,n)
    plt.plot(T,I1,linestyle='--',label='SIS, I pour ' +str(Ii*100)+'% d_
↳infectés initialement')
    plt.plot(T,I2,label='SIR, I pour ' +str(Ii*100)+'% d infectés_
↳initialement')
    plt.plot(T,R2,linestyle=':',label='SIR, R pour ' +str(Ii*100)+'% d_
↳infectés initialement')

plt.xlabel(r'$t$ (jours)')
plt.ylabel('% population infectée')
```

```
plt.legend()
plt.show()
```



2.3 Bonus : Modélisation de l'épidémie du COVID

Pour modéliser la pandémie du COVID, les équations proposées sont :

$$\begin{cases} \dot{S}(t) = -\beta S(t) \cdot (I(t) + \epsilon Q(t)) \\ \dot{I}(t) = \beta S(t) \cdot (I(t) + \epsilon Q(t)) - \left(\frac{1}{\tau_m} + \frac{1}{\tau_d}\right) I(t) \\ \dot{R}(t) = \frac{\omega}{\tau_m} (I(t) + Q(t)) \\ \dot{D}(t) = \frac{1-\omega}{\tau_m} (I(t) + Q(t)) \\ \dot{Q}(t) = \frac{1}{\tau_d} I(t) - \frac{1}{\tau_m} Q(t) \end{cases}$$

D représente la catégorie des personnes mortes (R ne concerne plus que les personnes guéries...), et Q celles en quarantaine.

On propose le code suivant, pour résoudre numériquement (par la méthode d'Euler) les équations précédentes :

```
[286]: def Euler_Covid(beta, eps, om, tau_d, tau_m, Ii, tf, n):
    T=[0]
    I=[Ii]
    S=[1-Ii]
    Q=[0]
    R=[0]
    D=[0]
    T_D=[0]
    DpD=[0]
```

```

dph=0
h = tf / (n-1)

for i in range(n-1):
    T.append(i*h)
    S.append(S[i]-beta*h*S[i]*(I[i]+eps*Q[i]))
    Q.append((1-h/tau_m)*Q[i]+h*I[i]/tau_d)
    I.append((1-h/tau_m)*I[i]+beta*h*S[i]*(I[i]+eps*Q[i])-h*I[i]/tau_d)
    R.append(R[i]+h*om*(I[i]+Q[i])/tau_m)
    dph+=h*(1-om)*(I[i]+Q[i])/tau_m # compteur du nombre de morts à chaque
↳pas
    D.append(D[i]+dph)
    if T[i]%1<h : #si le jour est fini
        T_D.append(T[i])
        DpD.append(dph)
        dph = 0

return T,T_D,S,R,D,DpD,Q,I

def plot_Covid(beta,eps,tau_d,Ii):
    # beta=0.5 contagiosité (personne infectieuse libre)
    # eps = 0.1 # coeff multiplicatif d'infectiosité pour personne en
↳quarantaine

    tau_m = 10 # temps caractéristique en jours d'évolution de la maladie (vers
↳la guérison ou la mort)
    om = 0.995 # rapport des chances de survie sur mort

    # tau_d = 10E10 # temps caractéristique du délai (en jours) de détection
↳puis mise en quarantaine

    tf = 130 # durée, en jours, de la simulation
    n = 100000 # nombre de discrétisation
    # Ii = 0.0001 # fraction de la population initialement infectée

    ratio = 1 # ratio de taille entre fig et texte (légende et axes), par
↳défaut 1
    fig, ax1 = plt.subplots(figsize=(8*ratio,5*ratio),dpi = 200)

    ax1.set_xlabel('jours')
    ax1.set_ylabel('% population')

    T,T_D,S,R,D,DpD,Q,I = Euler_Covid(beta,eps,om,tau_d,tau_m,Ii,tf,n)
    ax1.plot(T,np.multiply(100,I),label='Infectés')
    #ax1.plot(T,np.multiply(100,S),label='Sains')
    ax1.plot(T,np.multiply(100,R),label='Guéri')
    plt.legend()

```

```

ax2 = ax1.twinx()
ax2.set_ylabel('Morts par jour',color='m')
ax2.plot(T_D,np.multiply(68E6,DpD),'m-',label='Morts/jour à échelle Fr')

fig.tight_layout()
plt.show()

```

Commençons par le cas simple, sans quarantaine/isolément des personnes malades, avec une population initialement infectée très faible : c’est la phase de d’infection “invisible”, le virus circule mais reste non détecté.

```

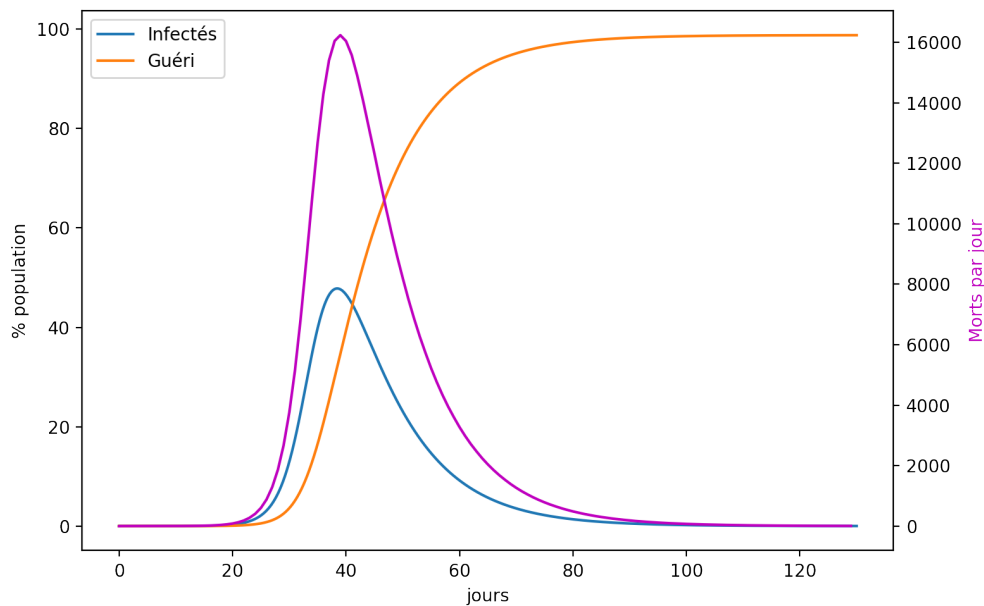
[288]: beta=0.5 # contagiosité (personne infectieuse libre)

eps = 0.1 # coeff multiplicatif d'infectiosité pour personne en quarantaine
tau_d = 10E10 # temps caractéristique du délai (en jours) de détection puis
↳ mise en quarantaine

Ii = 0.000001 # fraction de la population initialement infectée

plot_Covid(beta,eps,tau_d,Ii)

```



Malheureusement, après une phase de circulation discrete du virus (“à bas bruit”), la situation dégénère, le nombre de morts augmente très rapidement après un mois. Cela permet de donner une valeur cohérente à beta, coefficient de contagiosité. On a pris ici ‘beta = 0.5’, ce qui semble correspondre à une situation non contrôlée.

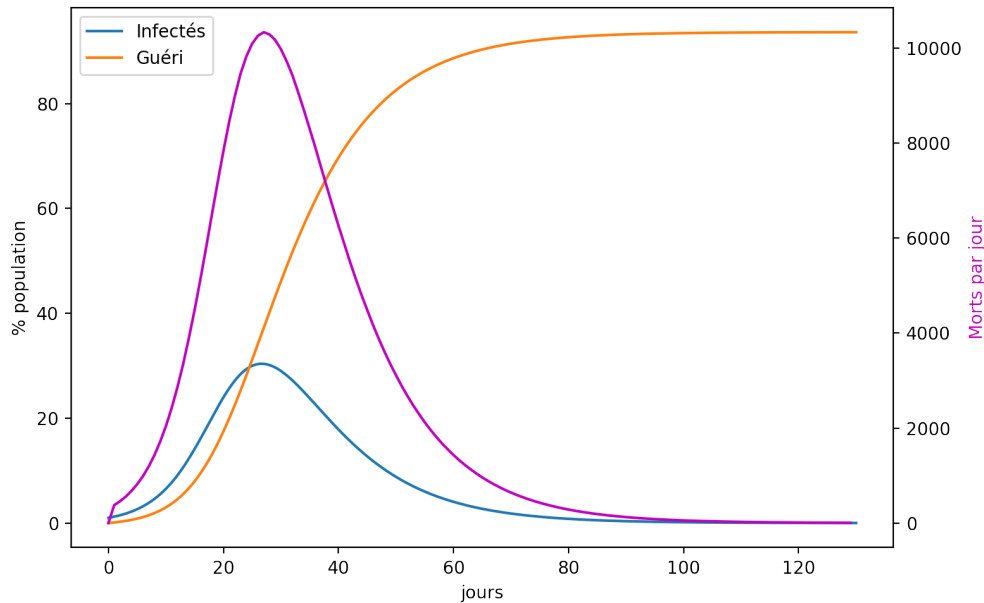
Une fois la maladie “découverte”, on avertit la population, et on conseil l’application des gestes barrières : le coefficient beta de contagiosité diminue, prenons 0.3 :

```
[289]: beta=0.3 # contagiosité (personne infectieuse libre)

eps = 0.1 # coeff multiplicatif d'infectiosité pour personne en quarantaine
tau_d = 10E10 # temps caractéristique du délai (en jours) de détection puis
↳ mise en quarantaine

Ii = 0.01 # fraction de la population initialement infectée

plot_Covid(beta,eps,alpha,tau_d,Ii)
```



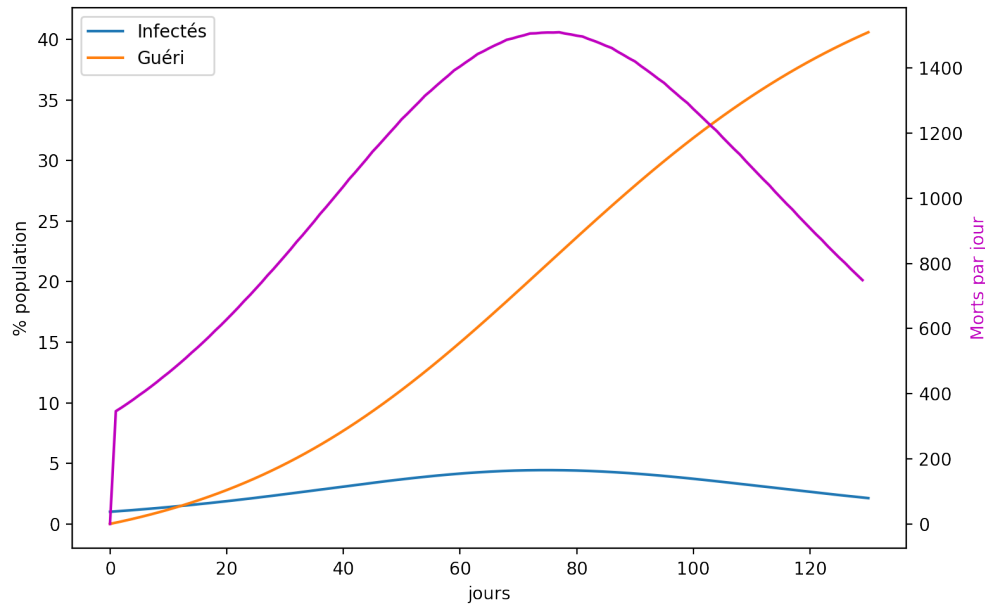
L'épidémie fait moins de dégats, mais n'est toujours pas contrôlée...Si l'application des gestes barrières n'est pas suffisante, on confine la population : le coefficient beta de contagiosité diminue encore, prenons 0.135 :

```
[290]: beta=0.135 # contagiosité (personne infectieuse libre)

eps = 0.1 # coeff multiplicatif d'infectiosité pour personne en quarantaine
tau_d = 10E10 # temps caractéristique du délai (en jours) de détection puis
↳ mise en quarantaine

Ii = 0.01 # fraction de la population initialement infectée

plot_Covid(beta,eps,tau_d,Ii)
```



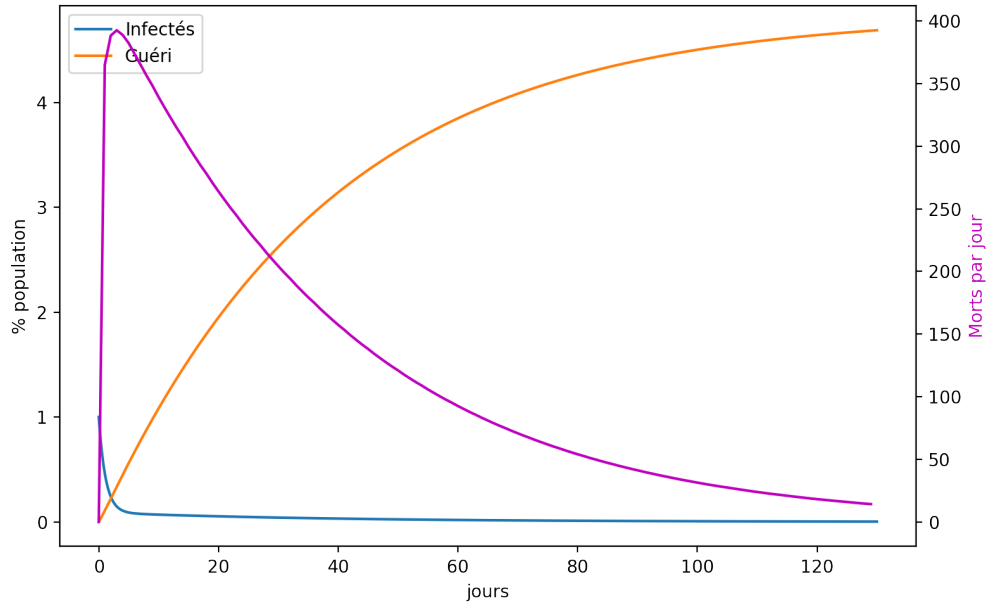
Le nombre de morts journalier à encore largement diminué, grâce à ces mesures drastiques. Interessons-nous désormais à l'autre stratégie de "détection-traçage-isolément". Pour cela, on considère un groupe de personnes mises en quarantaine, après avoir été testées. Le reste de la population n'est pas isolée, mais respecte les gestes barrières. Commençons avec des conditions idéales : en moyenne les personnes testées ont le résultat en 1 jour.

```
[296]: beta=0.3 # contagiosité (personne infectieuse libre)

eps = 0.2 # coeff multiplicatif d'infectiosité pour personne en quarantaine
tau_d = 1 # temps caractéristique du délai (en jours) de détection puis mise en
↳ quarantaine

Ii = 0.01 # fraction de la population initialement infectée

plot_Covid(beta,eps,tau_d,Ii)
```

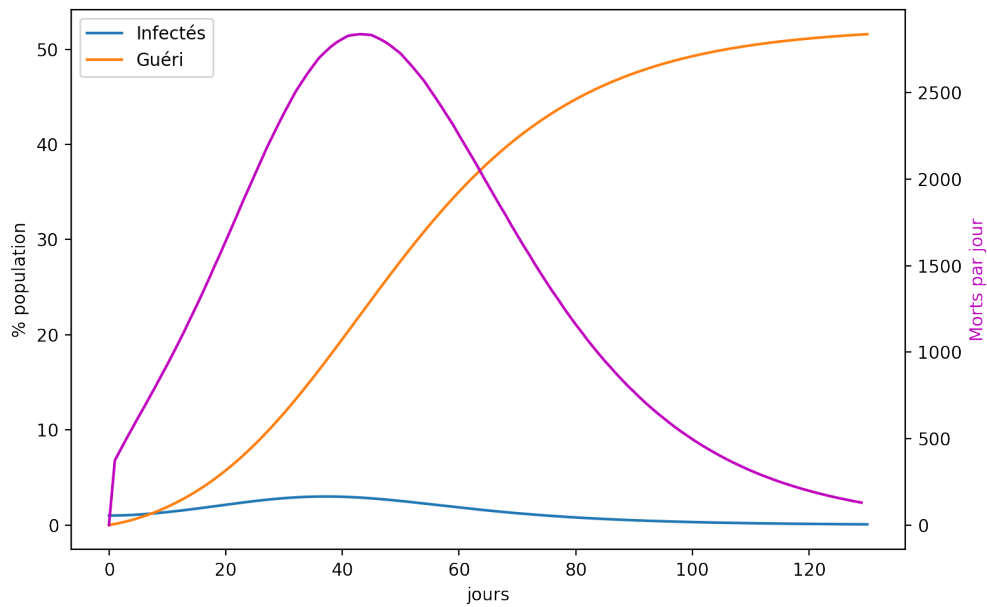
C'est très efficace ! Cependant, lorsque les tests prennent plus de temps :

```
[297]: beta=0.3 # contagiosité (personne infectieuse libre)

eps = 0.2 # coeff multiplicatif d'infectiosité pour personne en quarantaine
tau_d = 5 # temps caractéristique du délai (en jours) de détection puis mise en
↳ quarantaine

Ii = 0.01 # fraction de la population initialement infectée

plot_Covid(beta,eps,tau_d,Ii)
```



L'effet est beaucoup moins intéressant... Combinons maintenant cela avec un confinement intermédiaire, moins strict, comme la pour 2eme vague française :

```
[298]: beta=0.2 # contagiosité (personne infectieuse libre)

eps = 0.2 # coeff multiplicatif d'infectiosité pour personne en quarantaine
tau_d = 2 # temps caractéristique du délai (en jours) de détection puis mise en
↳ quarantaine

Ii = 0.01 # fraction de la population initialement infectée

plot_Covid(beta,eps,alpha,tau_d,Ii)
```

